

تجزیه و تحلیل داده‌های منطقه کرور با روش تکینگی به منظور تعیین بی‌هنجری پنهان

سمانه صفری^۱، منصور ضیابی^۲

۱- دانشجوی دکتری، دانشکده مهندسی معدن، نفت و ژئوفیزیک، دانشگاه صنعتی شاهرود

۲- دانشیار، دانشکده مهندسی معدن، نفت و ژئوفیزیک، دانشگاه صنعتی شاهرود

(دریافت: آذر ۱۳۹۶، پذیرش: دی ۱۳۹۸)

چکیده

تشخیص ذخایر پنهان همواره با مشکلات و محدودیت‌هایی مواجه است و از گذشته تاکنون روش‌های متعددی برای تشخیص این ذخایر به کار گرفته شده است که بیشتر این روش‌ها مبتنی بر بررسی زوئالیته ژئوشیمیایی عناصر است. اما روش زوئالیته با محدودیت‌هایی همراه است و کاربرد این روش نیازمند بانک اطلاعاتی قوی از ذخایر مشابه است. در این مقاله، از تلفیق روش زوئالیته با روش تکینگی برای اکتشاف بی‌هنجری پنهان در منطقه کرور واقع در زون جبال بارز استفاده شده است. هدف از این پژوهش ارائه روش نوین در اکتشاف ذخایر پنهان است که محدودیت روش زوئالیته را نداشته باشد. روش ارائه شده با ارائه عدد ۲ به عنوان معیار تشخیص کانی‌سازی پنهان به صورت مستقل بی‌هنجری پنهان را تشخیص می‌دهد. بدین منظور چهار صد نمونه سنگ از شبکه نمونه برداری منظم به صورت صد متر در صد متر و در امتداد خط مبدأ شمالی-جنوبی برداشت شده است. تکینگی قادر به تشخیص بی‌هنجری‌های ضعیفی است که با روش‌های دیگر قابل تشخیص نیست. در قسمت غربی منطقه کرور کانی‌سازی پنهانی وجود دارد که بی‌هنجری ضعیفی در سطح نشان می‌دهد. نتایج اعمال روش زوئالیته نشان داد این روش قادر به تشخیص این بی‌هنجری در بخش غرب منطقه نیست، اما اعمال روش تکینگی بر روی شاخص زوئالیته به خوبی این بی‌هنجری را تفکیک می‌کند و نتیجه خوبی برای تشخیص بی‌هنجری پنهان نشان می‌دهد. تکینگی شاخص زوئالیته کوچک‌تر از ۲ نشان دهنده این بی‌هنجری پنهان است. داده‌های به دست آمده از گمانه‌های حفاری شده در منطقه نیز درستی نتایج این روش را تأیید می‌کند.

کلمات کلیدی

تکینگی شاخص زوئالیته، بی‌هنجری پنهان، کرور، جیرفت

*عهده‌دار مکاتبات: s.safaris@yahoo.com

۱- مقدمه

بی‌هنگاری‌های ضعیفی که در اطراف گسل‌های بخش جنوبی منطقه وجود داشت را مشخص کرد. در صورتی که دو روش تست شده دیگر (C_A و $\bar{x} \pm 2s$) نتوانستند این بی‌هنگاری‌ها را تشخیص دهند^[۹]. وانگ (۲۰۱۰) در پژوهشی با تلفیق لایه‌های اطلاعاتی به تهیه نقشه پتانسیل مطلوب ذخایر قلع در منطقه معدنی گجو پرداخت. وی برای این کار لایه‌های اطلاعاتی زمین‌شناسی، ژئوشیمی، ژئوفیزیک و دورسنجی را با روش وزن‌های نشانگر با یکدیگر تلفیق و برای تهیه لایه ژئوشیمی از روش تکینگی استفاده کرد و لایه ژئوفیزیک را از روش مغناطیس هوایی و گرانی به دست آورد^[۸]. چن و همکاران (۲۰۱۵) از روش تکینگی برای تشخیص بی‌هنگاری‌های گرانی پوشیده شده در جنوب چین استفاده کردند. آنها از روش تکینگی برای تشخیص لبه‌های ماده معدنی استفاده کردند و نتیجه کار را با نتایج به دست آمده از دو روش گرادیان کل و سیگنال تحلیلی مقایسه کردند و مشاهده کردند که روش تکینگی به دلیل حذف اثر زمینه توانایی بهتری برای تشخیص لبه‌ها دارد. تشخیص لبه با روش گرادیان کل کیفیت پایینی داشته و روش سیگنال تحلیلی در تشخیص لبه نویز زیادی را نشان می‌دهد^[۳]. چن و چنگ (۲۰۱۶) برای اکتشاف ذخایر پلی‌متال واقع در چین برای تشخیص بی‌هنگاری‌های ضعیف پوشیده شده در سطح، روش تکینگی را بر روی Fe_2O_3 اعمال کردند. آنها در پژوهش خود روش جدیدی از تکینگی را با استفاده از تبدیل موجک ارائه دادند. بر اساس مطالعات ایشان، روش جدید بر پایه موجک نسبت به روش تکینگی معمولی بهتر می‌تواند بی‌هنگاری‌های ضعیف پنهان شده را تشخیص دهد^[۱۰]. گونکالوس و همکاران (۲۰۱۹) برای اکتشاف کمربند پیریت که توسط لایه ضخیمی از روباره پوشیده شده است، از روش تکینگی استفاده کردند و چندین آنومالی شامل عناصر مس، روی و کبالت را با روند NW-SE به WNW-ESE شناسایی کردند^[۱۱].

قاسمزاده و همکاران (۲۰۱۹) روش تکینگی را برای تشخیص آنومالی‌های ژئوشیمیایی مس در جنوب ایران به کار برداشتند. آنها عوامل متعددی مثل توپوگرافی، پوشش گیاهی، سنگ میزبان و شرایط اقلیمی را بر رسوبات آبراهه‌ای در مقیاس منطقه مؤثر دانستند به همین دلیل استفاده از روش‌هایی چون تکینگی را ضروری دانسته و در پژوهشی که انجام دادند، این روش را در تشخیص آنومالی

در علم فیزیک عبارت تکین یا سینگولار به پدیده‌های اطلاق می‌شود که دارای شار شدید انرژی یا ماده در المان کوچک فضایی- زمانی باشند. تکینگی به عنوان یک ویژگی مهم در فرایندها یا سیستم‌های طبیعی غیرخطی در شاخه‌های مختلف علوم زمین مثل تشكیل ابرها، سیل، طوفان، رانش زمین و تشكیل ذخایر هیدروترمال است. از نقطه نظر کاربرد زمین‌شناسی، این ویژگی می‌تواند به عنوان یک پدیده خاص با مقدار بی‌هنگاری انرژی رها شده یا مواد تجمع یافته در فاصله زمانی- مکانی کوتاه تعریف شود. در فرایند کانی‌سازی معمولاً مقدار زیادی عناصر فلزی در مدت زمان کوتاه (در مقایسه با مقیاس زمانی زمین‌شناسی) و در محدوده کوچکی (نسبت به گسترش زمین) رخ می‌دهند. همراه با کانی‌سازی هیدروترمال، فعالیت ماگما همراه با تخلیه و تجمع ماده معدنی است که با تعریف تکینگی مطابقت دارد. اضافه و کم شدن مواد از سنگ‌ها اغلب توزیع سینگولار غلظت فلزات را در سنگ میزبان به وجود می‌آورد^[۱، ۲].

پژوهش‌های متعددی در زمینه تشخیص بی‌هنگاری‌های ضعیف با کمک روش تکینگی انجام شده است. این پژوهش‌ها در زمینه‌های مختلف و بر روی داده‌های ژئوفیزیکی^[۳] و ژئوشیمیایی^[۴-۶] انجام شده است و بی‌هنگاری‌های ضعیف با کمک روش تکینگی تشخیص داده شده‌اند. چنگ (۲۰۰۷) با معرفی روش تکینگی برای اکتشاف ذخایر معدنی پلی‌متال در چین از این روش استفاده کرد. مطالعات انجام شده پیشین در این منطقه تنها قسمت شرق را به عنوان منطقه مطلوب معرفی کرده بود، در صورتی که چنگ با روش تکینگی، بی‌هنگاری‌های جدیدی برای این نوع ذخیره را در قسمت غربی منطقه نیز شناسایی و معرفی کرد^[۵]. سان و همکاران (۲۰۱۰) عملیات اکتشافات ژئوشیمیایی طلا و مولیبدن را در منطقه معدنی در چین با روش‌های تکینگی، C_A و $\bar{x} \pm 2s$ انجام دادند و نتایج به دست آمده را با هم مقایسه کردند. نتیجه کار آنها نشان داد که بی‌هنگاری مشخص شده با روش تکینگی نه تنها بخش زیادی از بی‌هنگاری‌های شمال این منطقه را پوشش می‌دهد بلکه محل ذخایر طلای زیادی که کشف نشده بودند و همچنین

غلظت هر نمونه آنومال، n تعداد نمونه‌های آنومال، C_0 غلظت زمینه، $2l$ فاصله بین دو پروفیل و m تعداد پروفیل‌ها است.

شاخص زونالیته از نسبت تولید سطحی عناصر فوق کانساری (Pb, Zn) به تولید سطحی عناصر تحت کانساری (Cu, Ag) برای هر بی‌هنجارتی محاسبه می‌شود (رابطه ۳).

$$K_p = \frac{P(Pb) * P(Zn)}{P(Cu) * P(Ag)} \quad (3)$$

۲-۲- تکینگی

فرض شده است $\mu(V)$ مقدار کل فلز در حجم V و $C(V)$ چگالی فلز در حجم V و برابر $V/\mu(V)$ باشد. رابطه فرکتالی بین این متغیرها را می‌توان به صورت رابطه‌های (۴) و (۵) بیان کرد:

$$\mu(V) = cV^{\alpha/3} \quad (4)$$

$$C(V) = cV^{\alpha/3-1} \quad (5)$$

در این رابطه‌ها α مقدار تکینگی محلی است. به طور مشابه در فضای دو بعدی فرض می‌شود که $(V)\mu$ و $\rho(A)=\mu(A)/A$ به ترتیب مقدار کل فلز و چگالی فلز در سطح A باشند. بنابراین رابطه‌های (۴) و (۵) در دو بعد به صورت رابطه‌های (۶) و (۷) خواهد شد:

$$\mu(A) = cA^{\alpha/2} \quad (6)$$

$$C(A) = cA^{\alpha/2-1} \quad (7)$$

در حالت دو بعدی برای تعیین α ، مربع‌هایی با مرکز ثابت در اندازه‌های ϵ_{min} در ϵ_{max} ($i=1, 2, 3, \dots, n$) $\epsilon_{min} = \epsilon_i < \epsilon_2 < \dots < \epsilon_n$ در نظر گرفته می‌شود که در این رابطه n برابر تعداد پنجرهای، ϵ_{min} اندازه کوچکترین پنجره و ϵ_{max} اندازه بزرگترین پنجره است. سپس مقدار میانگین غلظت مربوط به محدوده ϵ_i^2 ($i=1, 2, 3, \dots, n$) محاسبه می‌شود. رابطه بین میانگین غلظت در هر پنجره و اندازه پنجره مطابق رابطه (۷) است. اگر از این رابطه لگاریتم گرفته شود، رابطه بین اندازه پنجره و میانگین غلظت در هر پنجره به صورت رابطه یک خط خواهد بود (رابطه ۸).

$$\log \rho[A(\epsilon_i)] = c + (\alpha - 2) \log \epsilon_i \quad (8)$$

در این رابطه c مقداری ثابت و $\alpha - 2$ شیب خط برآش شده است (شکل ۱). چنانچه با افزایش اندازه پنجره، غلظت میانگین افزایش یابد، شیب خط مثبت ($\alpha - 2 > 0$) نشان دهنده تهی شدگی در آن نقطه خواهد بود و برعکس شیب

با روش‌های آماره U و روش فرکتال عیار- مساحت مقایسه کردند [۱۲].

در این پژوهش برای تشخیص بی‌هنجارتی‌های عمقی از روش تکینگی استفاده شده است، ولی برخلاف روش‌های پیشین که تکینگی بر روی تک عنصر اعمال شده بود، در این مطالعه روش تکینگی بر شاخص زونالیته اعمال شده است.

۲- روش مطالعه

۱-۲- زونالیته ژئوشیمیایی

زون‌بندی هاله ژئوشیمیایی یک طبیعت فضایی و مفهوم جهتی است که می‌تواند توسط سه پارامتر θ (فضا)، ϕ (جهت) و غلظت عنصر تعریف شود [۱۳]. در اطراف یک توده کانسار سه نوع منطقه‌بندی هاله اولیه در جهت طولی، عرضی و محوری وجود دارد، اما در عمل تأکید بر مطالعه منطقه‌بندی قائم هاله‌های اولیه است. زیرا این نوع منطقه‌بندی اغلب در ارتباط با راستای جریان سیال کانه‌دار است [۱۴-۱۶] و می‌تواند به عنوان ملاکی برای تعیین موقعیت سطح فرسایش آنومالی‌های ژئوشیمیایی نسبت به توده کانسار به کار رود. منطقه‌بندی قائم در هاله‌های نخستین نخستینی که با کانی‌سازی گرمابی تشکیل شده، نخستین بار توسط کابلوکوف و ورتیفون در کانسارهای اورانیوم شناخته شد. در کانسارهایی با شیب زیاد، منطقه‌بندی محوری منطبق بر منطقه‌بندی قائم و در کانسارهایی با شیب کم این منطقه‌بندی بر منطقه‌بندی افقی منطبق است [۱۷، ۱۸].

برای محاسبه شاخص زونالیته، سالوف [۱۹] استفاده از تولید سطحی و گریگوریان [۱۷] استفاده از شاخص کانی‌سازی را پیشنهاد کردند.

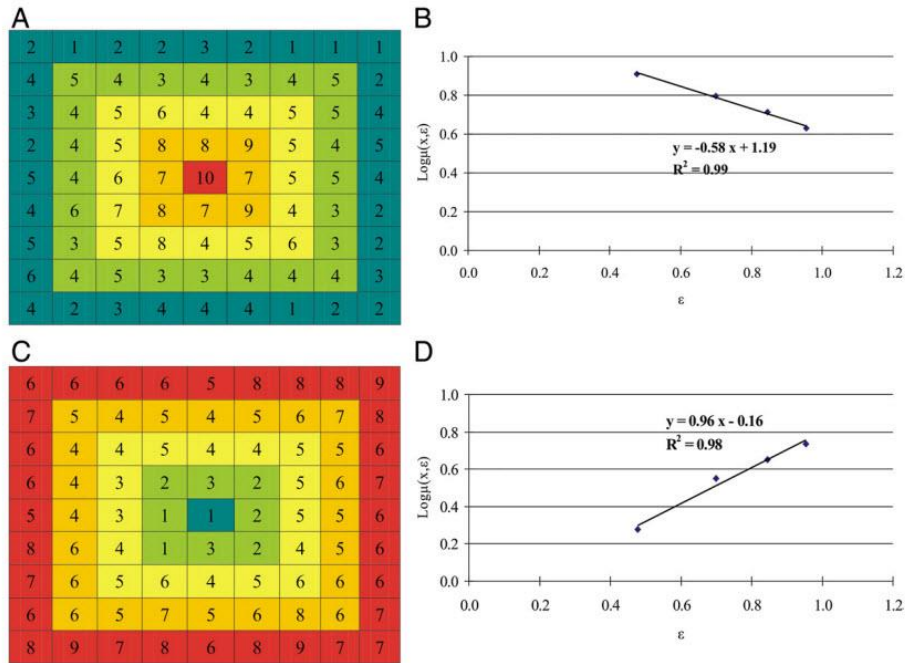
در یک شبکه نمونه‌برداری سیستماتیک تولید خطی در طول یک پروفیل و تولید سطحی به ترتیب از رابطه‌های (۱) و (۲) محاسبه می‌شود:

$$M = \Delta x \left(\sum_{x=1}^n C_x - nC_0 \right) \quad (1)$$

$$P = 2l \sum_{i=1}^m M_i \quad (2)$$

در این رابطه‌ها M و P به ترتیب تولید خطی و تولید سطحی، Δx فاصله بین نمونه‌ها در طول پروفیل، C_x

مناطق ناهنجار مقدار تکينگي کوچک تر يا بزرگ تر از ۲ خواهد بود. پنجه ره حرکت می کند و به طور مشابه مقدار تکينگي برای تمام نقاط موجود در منطقه محاسبه می شود (شکل ۱).



شکل ۱: مثالی از میانگین پنجه متحرک. A و C پنجه هایی با اندازه های $۳*۳$, $۵*۵$, $۷*۷$ و $۹*۹$ به ترتیب برای تخمین غنی شدگی و تهی شدگی به کار برده شده. B, D ارتباط بین سایز پنجه ها و میانگین غلظت در هر پنجه برای شکل های A و C.

جاده عنبرآباد- کهنوج تا روستای رود فرق و کرور است (شکل ۲).

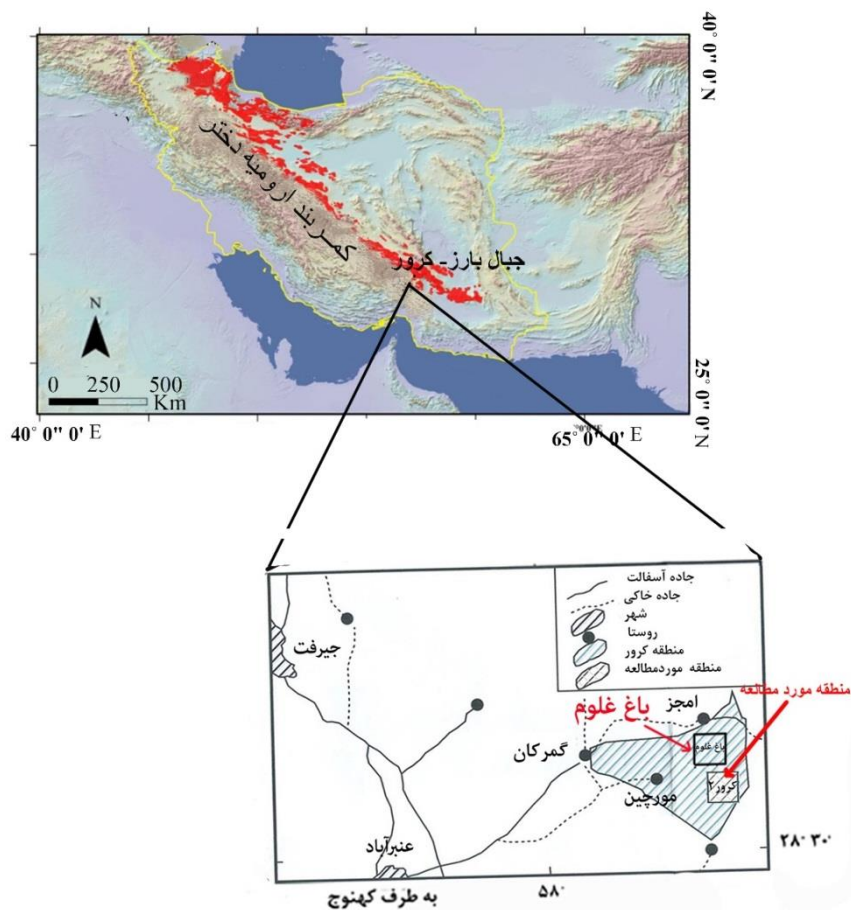
سنگ های این محدوده عبارتند از گرانیت در حاشیه غربی، سنگ های دیوریتی، میکرودیوریت همراه با دایک های گرانودیوریتی که بخش اعظم و تمامی نیمه غربی را پوشانیده اند (شکل ۳). رخنمون واحدهای گرانیتی عمدهاً در بخش شرقی مشاهده می شود و واحدهای دیوریتی در بخش جنوبی گسترش بیشتری دارند. کانی سازی مس در محدوده های دگرسانی کرور و باغ غلوم به شکل استوک ورک همراه با دگرسانی به صورت گستردگی دیده می شود. ملاکیت کانه اصلی در بخش های سطحی است و کانه های سولفیدی مس مانند کالکوپیریت در منطقه وجود دارد [۲۰]. سیستم گسل حاکم بر محدوده تقریباً به صورت متقطع و با دو روند کلی شمالی- جنوبی و شرقی- غربی است.

منفی خط ($\alpha < 2$) غنی شدگی را نشان می دهد. در نتیجه مقادیر تکينگي کوچک تر از ۲ ($\alpha > 2$) غنی شدگی و مقادیر بزرگ تر از ۲ ($\alpha > 2$) تهی شدگی را نشان می دهد [۷]. در مناطق معمولی مقادیر تکينگي نزدیک به ۲ است و برای

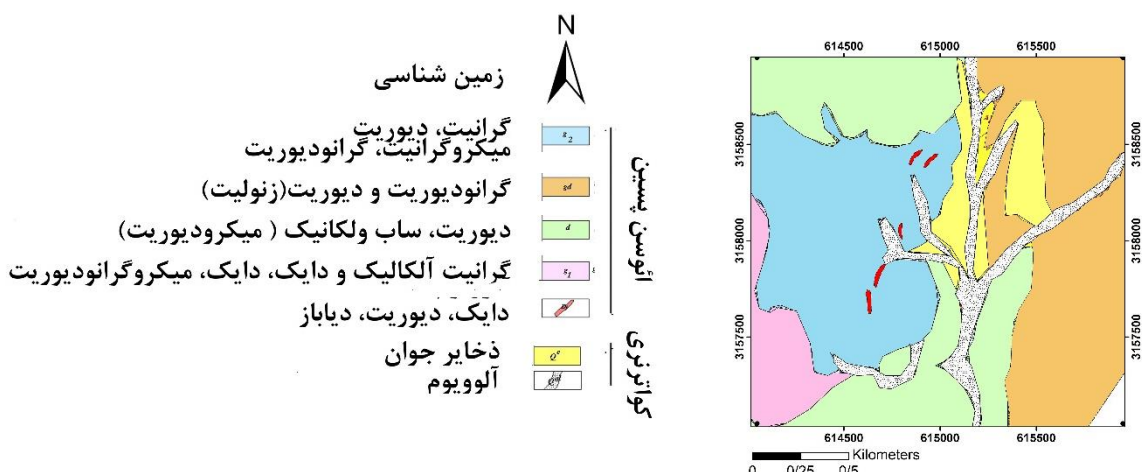
برای اعمال روش تکينگي منطقه به صورت منظم در فاصله های ۱۰۰ متری شبکه بندی شده و مقادیر غلظت و شاخص زونالите برای هر یک از نقاط تخمین زده شد. سپس روش تکينگي برای پنجه هایی با اندازه های ۱۰۰×۱۰۰ متر، ۳۰۰×۳۰۰ متر، ۵۰۰×۵۰۰ متر، ۷۰۰×۷۰۰ متر، ۹۰۰×۹۰۰ متر، ۱۱۰۰×۱۱۰۰ متر و ۱۳۰۰×۱۳۰۰ متر برای شاخص زونالите انجام شد.

۳- موقعیت جغرافیایی و زمین شناسی منطقه مورد بررسی

منطقه کرور ۲ در فاصله حدود ۴۳ کیلومتری شرق جیرفت، در فاصله ۷ کیلومتر شمال روستای رود فرق و در مختصات E $۵۷^{\circ} ۹' ۶''$ N $۳۲^{\circ} ۵۸' ۱۱' ۷''$ قرار می گیرد. راه دسترسی آن از طریق



شکل ۲: موقعیت جغرافیایی و راه‌های دسترسی به منطقه کرور و منطقه باغ غلوم



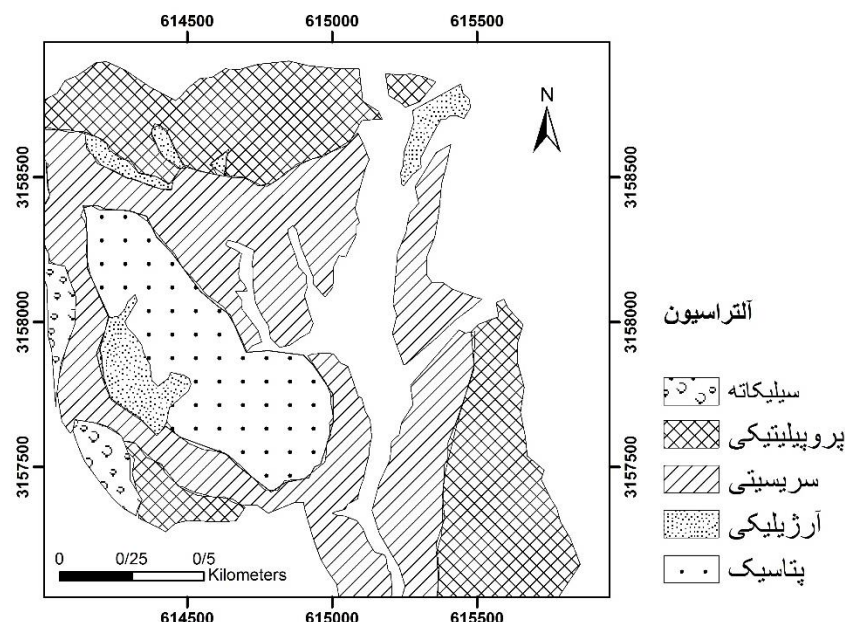
شکل ۳: نقشه زمین‌شناسی منطقه کرور ۲ [۲۱]

بی‌هنجری‌های مس و مولیبدن بیشترین تمرکز را در این محدوده دارند [۲۰، ۲۱]. زون دگرسان آرژیلیک (رسی) نیز به صورت باریکه‌ای در حاشیه غربی هر دو محدوده شامل مجموعه کائولینیت، کوارتز، کلریت، سریسیت و پیریت دیده می‌شود [۲۰]. دگرسانی سریسیت همراه با کوارتز، کلریت و کانی‌های پیریت و کالکوپیریت به صورت حلقوی دور دگرسانی پتاسیک (مطابق ساختار کانسارهای

یکی از شاخصه‌های زمین‌شناسی منطقه حضور انواع مختلف دگرسانی مربوط به سیستم مس پورفیری است که در هر دو محدوده باغ‌غلوم و کرور ۲ حاکم است. در بخش مرکزی و به ویژه مرکزی غربی محدوده، دگرسانی پتاسیک انتشار زیادی دارد. کانی‌های شاخص این زون شامل فلدسپات‌های پتاسیک ثانویه، کلریت، بیوتیت ثانویه همراه با کانی‌های پراکنده پیریت و کالکوپیریت است.

پروپیلیتیک به صورت یک نیم دایره حاشیه‌های شرقی، شمالی و شمال غرب محدوده را پوشانیده است در حاشیه غربی محدوده باریکه‌ای از دگرسانی سیلیسی به صورت کوارتز، اوپال و کالسدونی نیز وسعت چندین هکتار را پوشانیده است [۲۰]. زون پروپیلیتیک، زون‌های دگرسان قبلی را در برگرفته است. کانی‌های اپیدوت، کلریت، سریسیت و پیریت نیز در هر دو محدوده از مرکز بالائی برخوردار هستند [۲۱] (شکل ۴).

پورفیری را فرا گرفته است. دگرسانی‌های سریسیت، پروپیلیتیک نیز در این منطقه اتفاق افتاده است. در بخش مرکزی منطقه سنگ‌های گرانیتی، دیوریتی، میکروگرانیتی شدیداً دگرسان شده و دگرسانی پتاسیک همراه با کانی‌سازی‌های پیریت، کالکوپیریت و مالاکیت بیشترین گسترش را دارند. بخش شرقی محدوده اکتشافی را واحدهایی از گرانودیوریت (gd) و دیوریت پوشانیده است و بخش‌های غربی و جنوبی آن تحت تأثیر دگرسانی‌های سریسیتی و پروپیلیتیکی واقع شده است. دگرسانی



شکل ۴: نقشه آلتراسیون کرور ۲ [۲۱]

است. عناصر کانی‌سازی شده در کانسار کرور مثل مس و گوگرد نیز در نمونه‌های گوسان غنی‌شدگی نشان می‌دهند [۲۲].

۴- بحث و بررسی

با توجه به مساحت محدوده‌های اکتشافی کرور ۲، تقریباً چهارصد نمونه سنگ از شبکه نمونه‌برداری به صورت صد متر در صد متر و در امتداد خط مبنای شمالی-جنوبی برداشت شده است. همچنین داده‌های ژئوشیمیایی در دو گمانه حفاری (BH13, BH22) واقع در منطقه نیز بررسی شد، که در گمانه ۱۳ تعداد ۲۰۵ نمونه از سطح تا عمق ۴۰۰ متری، نمونه‌برداری و تعداد ۲۲۵ نمونه از سطح تا عمق ۴۵۰ متری گمانه ۲۲ برداشت شده است. پس از برداشت به وزن ۴ الی ۷ کیلوگرم (به تعداد ۱۰ الی ۲۰ قطعه سنگ از حواشی هر یک از ایستگاهها) آماده‌سازی

لازم به ذکر است که انتشار دایک‌های دیوریتی، میکرودیوریتی در محدوده دگرسانی پتاسیک و سریسیتی از مرکز بیشتری برخوردار هستند (شکل ۳ و ۴) [۲۱]. پیریت در بخش‌های مختلف به صورت پراکنده وجود دارد. در بخش‌های آرزیلیکی کمتر دیده می‌شود ولی درون بخش‌های سیلیسی و بخش‌های پتاسیک مقدار پیریت آن فراوان‌تر است. گاه در سنگ، قالب‌های به جا مانده از پیریت را می‌توان مشاهده کرد که توسط اکسیدهای آهن پر شده است. در واقع در اثر فرایند هوازدگی و اکسیداسیون کانی‌های سولفیدی آهن‌دار مثل پیریت، اکسیدهای آهن در قسمت بالایی متراکز شده و گوسان تشکیل شده است. زون گوسان در منطقه کرور ۲ در محدوده دگرسانی فیلیک و زون میلیونیتی توسعه یافته است. کانی‌های زون گوسان در کرور بیشتر شامل گوتیت، هماتیت، ژوراسیت، آلونیت، مسکویت و کانی‌های رسی

است. پارامترهای آماری داده‌ها در جدول ۱ آورده شده است.

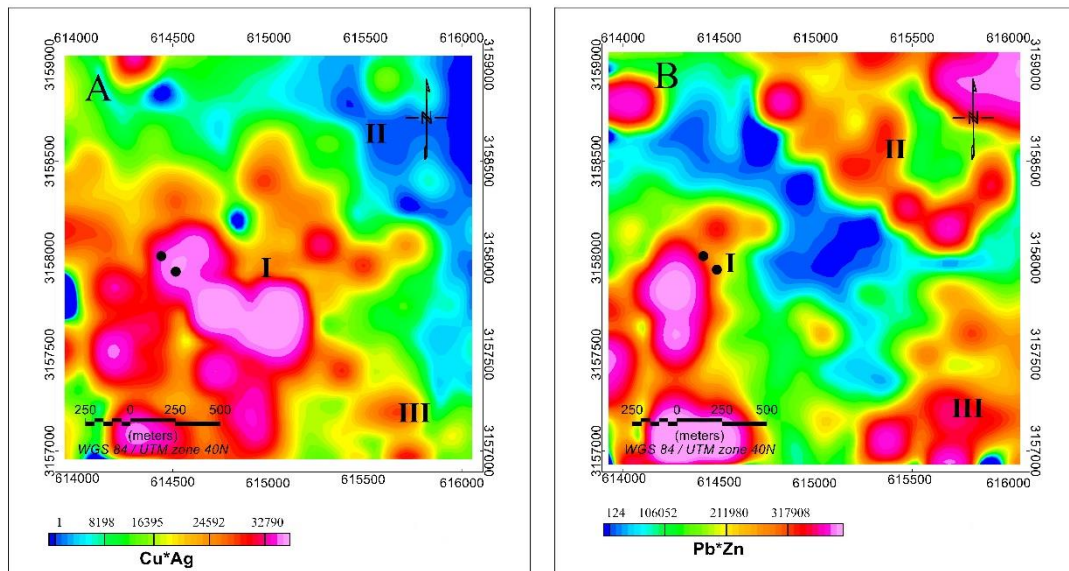
شده‌اند. نمونه‌ها توسط سازمان زمین‌شناسی و اکتشافات کشور برداشت شده و تجزیه عناصر به روش اسپکترومتری نشری در آزمایشگاه شرکت جیانگسی در چین انجام شده

جدول ۱: پارامتر آماری داده‌های منطقه کرور ۲

انحراف معیار	مد	میانگین	بیشینه	کمینه	
۱۱۹۰/۳۸	۱۱۹/۱	۶۴۲/۱	۱۶۷۴۶	۱۰/۵	مس
۰/۵۹	۰/۱۲۶	۰/۴۱۹	۶/۶۴	۰/۰۲۹	نقره
۷۴/۸	۱۸/۷	۳۸/۶	۹۸۱/۱	۶/۸	سرب
۸۳/۷	۴۳	۹۳/۲	۵۲۳	۱۸	روی

در نظر گرفته شد. در قسمت شمال شرقی و جنوب غربی نیز عناصر فوق کانساری بیشترین تمرکز را دارند که به ترتیب به عنوان بی‌هنجری‌های II و III در نظر گرفته شدند (شکل ۵).

با توجه به نقشه پراکندگی عناصر فوق کانساری و تحت کانساری در کرور ۲، سه بی‌هنجری در این منطقه مشخص شد. در قسمت‌های مرکزی و جنوب غربی بیشترین تمرکز عناصر تحت کانساری وجود دارد که به عنوان بی‌هنجری I



شکل ۵: پراکندگی حاصل‌ضرب عناصر (B) فوق کانساری در کرور ۲

براساس این مدل، مقادیر شاخص زونالیته در آنومالی بی‌هنجری I بیانگر این است که سطح بالای کانی‌سازی فرسایش یافته است و سطح فرسایش به مرکز کانی‌سازی رسیده است. بر اساس پژوهش‌های پیشین توسط برنا و سودی شعار (۲۰۰۵) [۲۱]، بی‌هنجری شماره یک مس به دلیل پایین بودن عیار سرب و روی و بالا بودن عیار مس و مولیبدن، می‌تواند بر سطح یک توده کانی‌سازی منطبق باشد ولی به دلیل پایین بودن عیار مس قاعده‌تا نمی‌تواند معرف یک توده پورفیری با عیار مس اقتصادی در سطح باشد. بنابراین بی‌هنجری در این بخش از نوع پراکنده است.

در آنومالی بی‌هنجری I مقدار شاخص زونالیته Pb^*Zn/Cu^*Ag برابر ۲/۴ است (جدول ۲). برای تعیین سطح فرسایش ماده معدنی با کمک شاخص زونالیته از مدل ارائه شده توسط ضیایی [۲۳] استفاده شد (شکل ۶).

جدول ۲: تولید سطحی و شاخص زونالیته در منطقه کرور ۲

K	P(Cu)	P(Ag)	P(Pb)	P(Zn)	Zone
۲/۴	۱۶۹۶۷	۶/۱	۳۲۴۶	۷۳۷	I
۸۴/۶	۱۷۷۲۶	۶/۵	۱۲۴۳	۷۸۴۳	II
۱۷/۹	۲۵۵۴۸	۸/۸	۱۹۱۵	۲۰۲۱	III

سطح فرسايش		قطع عمودي	$Vz_1 = \frac{Zn * Pb}{Cu * Mo}$	$Vz_2 = \frac{Zn * Pb}{Cu * Ag}$	$Vz_3 = \frac{Zn * Pb * Bi}{Cu * Mo * Ag}$
			$Vz(I)/Vz(VI)$	1.....	1.....
I	بالاي ماده معدني	>5	>100	>1	
II	بالاي ماده معدني	0/0.5	10-100	0/1-1	
III	ماده معدني	0/0.5-0/5	1-10	0/0.1-0/1	
IV	ماده معدني	0/0.5-0/5	0/1-1	0/0.1-0/1	
V	پلبين ماده معدني	0/0.5-0/0.5	0/0.1-0/1	0/0.1-0/0.1	
VI	پللين ماده معدني	<0/0.05	<0/0.1	<0/0.1	

شکل ۶: مدل شاخص زوناليته قائم برای ذخایر مس پورفیوی بر پایه ذخایر مس پورفیوی استاندارد در قزاقستان، بلغارستان، ارمنستان و ایران [۲۲]

همان طور که در نقشه تکينگي شاخص زوناليته و نقشه باينري حاصل از آن مشاهده می شود، در نيمه شرقی منطقه مقادير تکينگي پايین است و می توان گفت شاخص زوناليته در اين بخش غني شده و احتمال وجود ماده معدني در عمق اين قسمت وجود دارد (شکل ۸). كه با نتایج به دست آمده از روش زوناليته در پژوهش های گذشته [۲۱] و نتایج به دست آمده از روش زوناليته تطابق دارد. در واقع در بخش شرقی منطقه بی هنجاري قوي وجود دارد که هر دو روش تکينگي و زوناليته اين بی هنجاري را تشخيص داده اند.

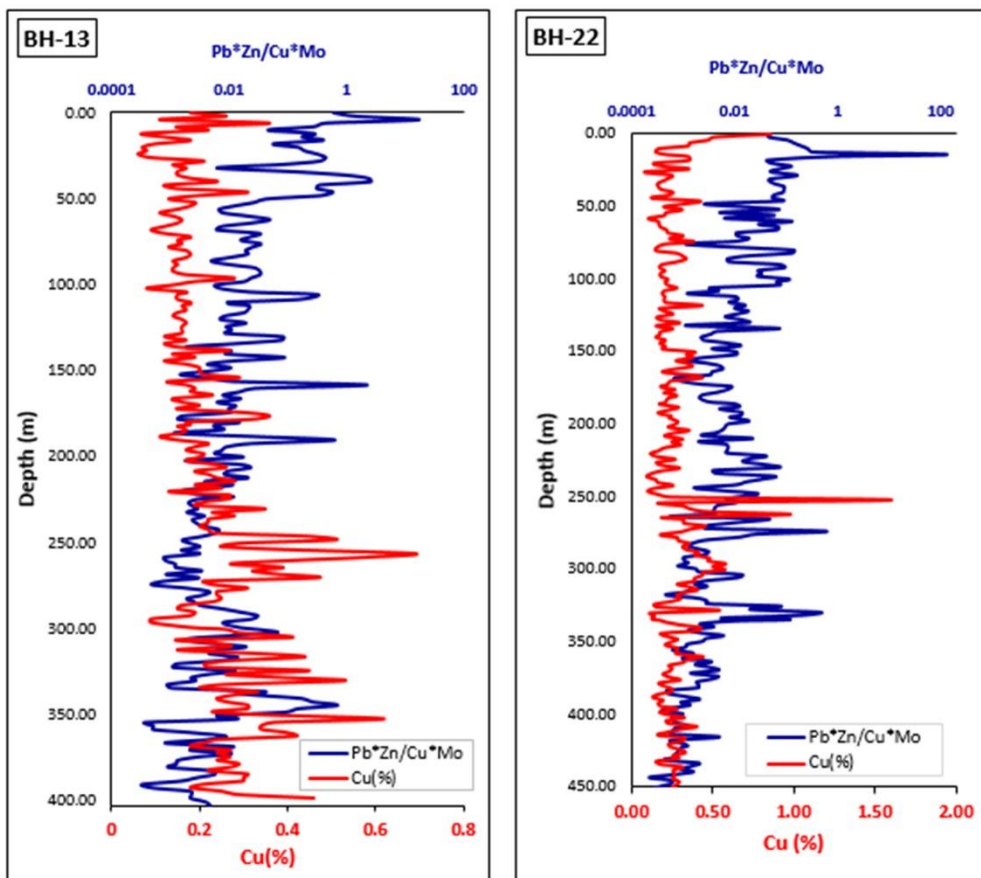
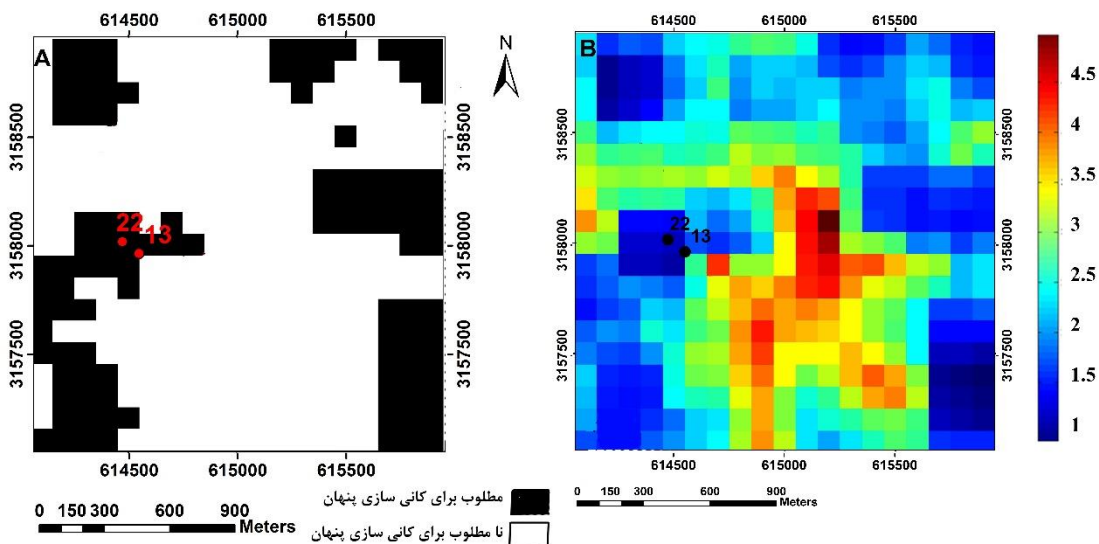
در نيمه غربی منطقه شاخص زوناليته در بخش های نزديک به مرکز تهی شدگی و در قسمت غربی غني شدگی را نشان می دهد. روش تکينگي شاخص زوناليته بی هنجاري را در بخش غرب منطقه نشان می دهد که گمانه های حفاری ۲۲ و ۱۳ در اين منطقه نيز وجود اين بی هنجاري را تاييد می کند در حالی که روش زوناليته قادر به تشخيص اين بی هنجاري نبوده است.

بنابراین روش تکينگي در اين منطقه توانسته است بی هنجاري ضعيف پنهان در بخش غربی را که روش زوناليته قادر به تشخيص آن نبود، به خوبی تشخيص دهد. بر اساس نقشه باينري به دست آمده از محاسبه مقادير تکينگي برای شاخص زوناليته، بخش شمال شرقی کرور ۲ به عنوان بی هنجاري جديد کانی سازی پنهان معرفی می شود.

در بی هنجاري II مقدار بزرگتر از ۱۰ برای شاخص زوناليته، سطح فرسايش را در بالاي کانی سازی نشان می دهد و کانی سازی در اين بی هنجاري را از نوع پنهان معرفی می کند که با نتایج پژوهش های پيشين در اين منطقه تطابق دارد. بري و سودی شعار (۲۰۰۵) [۲۱] نيز اين بی هنجاري در کرور ۲ را از نوع پنهان معرفی كردند.

شاخص زوناليته Pb^*Zn/Cu^*Ag در بی هنجاري III برابر ۱۷/۹ شد که اين مقادير معرف حضور کانی سازی پنهان در منطقه است. نتایج پژوهش پيشين [۲۱] نيز وجود بی هنجاري پنهان را در اين منطقه نشان می دهد.

همان طور که مشاهده شد بر اساس روش زوناليته، در نيمه شرقی دو بی هنجاري پنهان در بخش شمالی و جنوبی وجود دارد و نيمه غربی کرور ۲ به عنوان بی هنجاري کاذب معرفی شد. در حالی که گمانه های ۱۳ و ۲۲ حفاری شده در نيمه غربی اين منطقه وجود ماده معدني را در عمق نشان می دهد (شکل ۷). تغييرات شاخص زوناليته (Pb^*Zn/Cu^*Mo) در اين دو گمانه از سطح به عمق روند کاهشي دارد و بيشينه غلظت مس در عمق ۲۵۰ متری اين دو گمانه مشاهده می شود که بيانگر اين است که سطح فرسايش در بالاي ماده معدني است و ماده معدني در عمق وجود دارد. بنابراین در نيمه غربی منطقه بی هنجاري ضعيفی از يك کانی سازی پنهان در عمق وجود دارد که روش زوناليته قادر به تشخيص آن نبوده است. از اين رو برای تشخيص محل اين بی هنجاري ضعيف و بی هنجاري های احتمالي ديگر در منطقه از روش تکينگي استفاده شد.

شکل ۷: تغییرات شاخص زونالیته Pb^*Zn/Cu^*Mo و عنصر مس در گمانه‌های ۱۳ و ۲۲

شکل ۸: (A) نقشه با بنری تکینگی شاخص زونالیته برای مقادیر کوچک‌تر از ۲، (B) نقشه تکینگی شاخص زونالیته

قرار گرفت. اما استفاده از این روش با محدودیت‌هایی مواجه است. برای استفاده از روش زونالیته نیاز به داشتن مدل ذخایر مشابه مقایسه است و روش زوتالیته به تنها ی و به صورت مستقل قادر به تشخیص آنومالی پنهان نیست. بررسی انجام شده در این پژوهش نشان داد در

۵- نتیجه‌گیری

از دیر باز تا کنون روش‌های متعددی برای اکتشاف ذخایر پنهان استفاده می‌شده است. پس از ارائه روش زونالیته، این روش به عنوان روشنی کارآمد مورد استفاده

network to identify Ag-Au-Pb-Zn polymetallic mineralization associated geochemical anomaly in Pangxidong district. *Journal of Geochemical Exploration*, 203, 87-95.

[5] Cheng, Q., 2007. Mapping singularities with stream sediment geochemical data for prediction of undiscovered mineral deposits in Gejiu, Yunnan Province, China. *Ore Geology Review*, 32(1), 314-324.

[6] Yilmaz, H., Yousefi, M., Parsa, M., Sonmez, F. N., & Maghsoudi, A. 2019. Singularity mapping of bulk leach extractable gold and- 80# stream sediment geochemical data in recognition of gold and base metal mineralization footprints in Biga Peninsula South, Turkey. *Journal of African Earth Sciences*, 153, 156-172.

[7] Zuo, R., Cheng, Q., Agterberg, F. and Xia, Q., 2009. Application of singularity mapping technique to identify local anomalies using stream sediment geochemical data, a case study from Gangdese, Tibet, western China. *Journal of Geochemical Exploration*, 101(3), 225-235.

[8] Wang, W. 2010. Application of spatial information fusion techniques in GeoDAS for mapping Sn mineralization associated intrusions in Gejiu ore district, Southern Yunnan, China. in: Masters Abstracts International, 176pp.

[9] Sun, X., Gong, Q., Wang, Q., Yang, L., Wang, C. and Wang, Z., 2010. Application of local singularity model to delineate geochemical anomalies in Xiong'ershan gold and molybdenum ore district, Western Henan province, China. *Journal of Geochemical Exploration*. 107(1), 21-29.

[10] Chen, G. and Cheng, Q., 2016. Singularity analysis based on wavelet transform of fractal measures for identifying geochemical anomaly in mineral exploration. *Computer & Geoscience*, 87, 56-66.

[11] Gonçalves, M. A., & Mateus, A. 2019. "Delimiting geochemical anomalies in the exploration of covered deposits with multifractal methods and using stream sediment data from the Iberian Pyrite Belt, Southwest Iberia". *Ore Geology Reviews*, 112, 103018.

[12] Ghasemzadeh, S., Maghsoudi, A., Yousefi, M., & Mihalasky, M. J. 2019. Stream sediment geochemical data analysis for district-scale mineral exploration targeting: Measuring the performance of the spatial U-statistic and CA fractal modeling. *Ore Geology Reviews*, 113, 103-115.

[13] Hamedani, M.L., 2012. Orebody modelling for exploration: the western mineralization, Broken Hill, NSW. *Natural Resources Research*, 21(3), 325-345.

صورتی که روش زونالیته و روش تکینگی با هم تلفیق شوند، با در نظر گرفتن عدد ۲ به عنوان حد آستانه، می‌توان بدون نیاز به مدل ذخایر مشابه به وجود آنومالی در عمق پی برد. در این پژوهش روش تکینگی به جای تک عنصر بر روی شاخص زونالیته داده‌های محدوده کرور اعمال شد. از آنجایی که روش تکینگی در تشخیص آنومالی‌های ضعیف توانا است، تلفیق آن نتایج مطلوب و مؤثری در تشخیص آنومالی پنهان در این منطقه داشت. چنانچه در این پژوهش مشاهده شد، بی‌هنجری عمیق مس در بخش غرب منطقه وجود داشت که با روش زونالیته تشخیص داده نشد. اما با اعمال روش تکینگی بر روی شاخص زونالیته، این منطقه به خوبی تفکیک شد. چرا که روش تکینگی قادر است بی‌هنجری‌های ضعیف را مشخص کند و اگر این فرایند بر روی شاخص زونالیته اعمال شود، محل بی‌هنجری‌های ضعیف عمیق را به خوبی نشان می‌دهد. نتایج به دست آمده از نقشه‌های این روش با داده‌های دو گمانه حفاری موجود در منطقه اعتبار سنجی شد. عیار مس در گمانه‌های حفر شده در مناطقی که به عنوان بی‌هنجری مس با این روش معرفی شدند، عیار بالا و اقتصادی مس را در عمق نشان دادند. بنابراین می‌توان گفت روش تکینگی شاخص زونالیته روشی مفید برای تشخیص بی‌هنجری‌های پنهان در عمق است و بر خلاف روش زونالیته نیاز به استفاده از مدل و بانک اطلاعاتی از ذخایر مشابه ندارد و به صورت مستقل محل بی‌هنجری پنهان را تفکیک می‌کند.

مراجع

- [1] Cheng, Q. 2006. Singularity-generalized self-similarity-fractal spectrum (3S) models. *Earth Science–Journal of China University of Geoscience*, 31, 337-348.
- [2] Turcotte, D.L., 1997. *Fractals and Chaos in Geology and Geophysics*. Cambridge University Press, Cambridge, 412pp
- [3] Chen, G., Cheng, Q., Zuo, R., Liu, T. and Xi, Y., 2015. Identifying gravity anomalies caused by granitic intrusions in Nanling mineral district, China: a multifractal perspective. *Geophysical Prospecting*, 63(1), 256-270
- [4] Yu, X., Xiao, F., Zhou, Y., Wang, Y., & Wang, K. 2019. Application of hierarchical clustering, singularity mapping, and Kohonen neural

- [14] Li, H., Wang, Z. and Li, F., 1995. Ideal models of superimposed primary halos in hydrothermal gold deposits. *Journal of Geochemical Exploration*, 55(1-3), 329-336.
- [15] Li, H., Zhang, G. and Yu, B., 2006. Tectonic Primary Halo Model and the Prospecting Effect during Deep Buried Ore Prospecting in Gold Deposits, in, Geological Publishing House, Beijing.
- [16] Li, H., Zhang, W., Chang, F., Zheng, T., Liu, B., Wang, Z., Tang, L., Liu, Z., Li, F. and Wang, J., 1998 Primary Halo Model for Buried Ore Prospecting of Large and Super-large Gold Deposits, in, Metallurgical Industry Press, Beijing.
- [17] Beus, A.A and Grigorian, S.V., 1977. *Geochemical Exploration Methods for Mineral Deposits*. Applied Publishing Ltd.
- [18] Harraz, H. Z., 1995. Primary geochemical haloes, El Sid gold mine, Eastern Desert, Egypt. *Journal of African Earth Sciences*, 20(1):61-71.
- [19] Solovov, A. P. and Kuznetov, V., 1987. *Geochemical prospecting for mineral deposits*, Mir Publ. 282 pp.
- [20] Borna, B., 2004. "Primary exploration of copper in Kerve (Jebal Barez): scale 1:20000. National Iranian Copper Industries Company (NICICO) Reports". 151p (In Persian).
- [21] Borna, B., Sodishoar, P., 2005. "Primary exploration of copper in Kerve: scale 1:5000. National Iranian Copper Industries Company (NICICO) Reports", 70 p (In Persian).
- [22] Yousefi, J., Ranjbar, H., Dargahi, S., Taghizadeh, H., 2019." Mineralogy and geochemistry of gossan in Kerve porphyry copper deposit, Kerman copper belt, Iran", 10th symposium of Iranian society of economic geology. Esfahan.
- [23] Ziaii M., Carranza E. J. M. and Ziae M. 2011. "Application of geochemical zonality coefficients in mineral prospectivity mapping" *Computer & Geoscience*., 37, 12, pp. 1935.